# ТЕПЛОФИЗИЧЕСКИЕ СВОЙСТВА ВЕЩЕСТВ =

УЛК 661.666.22

# ВЫСОКОТЕМПЕРАТУРНЫЕ ТЕПЛОФИЗИЧЕСКИЕ СВОЙСТВА УГЛЕРОД-УГЛЕРОДНЫХ КОМПОЗИЦИОННЫХ МАТЕРИАЛОВ НА ОСНОВЕ ИГЛОПРОБИВНОГО УГЛЕРОДНОГО КАРКАСА С ДВУМЯ ТИПАМИ УПЛОТНЕНИЯ

© 2024 г. А. В. Вершинин<sup>1, \*</sup>, А. С. Карсаков<sup>1</sup>, В. И. Горбатов<sup>2, 3</sup>, А. А. Куриченко<sup>2</sup>, И. В. Магнитский<sup>4</sup>, М. В. Магнитская<sup>4</sup>, С.В. Тащилов<sup>4</sup>

 $^{1}AO$  «ОКБ «Новатор», г. Екатеринбург, Россия  $^{2}$  ФГБОУ ВО «Уральский государственный горный университет», г. Екатеринбург, Россия  $^{3}$  ФГБУН Институт теплофизики УрО РАН, г. Екатеринбург, Россия  $^{4}AO$  «Композит», г. Королев, Россия

\*E-mail: av\_vershinin@inbox.ru
Поступила в редакцию 06.12.2023 г.
После доработки 26.07.2024 г.
Принята к публикации 08.10.2024 г.

Методом плоских температурных волн измерена температуропроводность образцов, вырезанных из двух типов углерод-углеродных композиционных материалов вдоль и поперек их основного направления армирования. В качестве армирующего компонента углерод-углеродных композиционных материалов использовался иглопробивной каркас на основе углеродной биаксиальной ткани марки АСМ С400В из высокопрочного карбонизованного волокна. Для первого типа углерод-углеродного композиционного материала армирующий компонент уплотнен пироуглеродной матрицей, для второго — коксовой матрицей. Плотность исследованных материалов составляла 1.77 и 1.95 г/см³ соответственно. По результатам измерения температуропроводности в диапазоне 600—1700 К рассчитаны температурные зависимости коэффициента теплопроводности, позволяющие оценить теплопроводность исследованных материалов в зависимости от направления армирования (оси анизотропии). Показано отличие коэффициента теплопроводности как по величине, так и по форме политерм в зависимости от способа уплотнения иглопробивных углеродных каркасов углерод-углеродных композиционных материалов. Обсуждается механизм теплопроводности в углерод-углеродных композиционных материалох.

# DOI: 10.31857/S0040364424050052

### **ВВЕДЕНИЕ**

Углерод-углеродные композиционные материалы (УУКМ) являются перспективными при изготовлении узлов и агрегатов [1], эксплуатируемых в среде высокотемпературных агрессивных газов [2, 3]. Иглопробивные углеродные каркасы со схемой армирования 2.5Д хорошо зарекомендовали себя при производстве УУКМ. Преимущество технологии состоит в том, что иглопробитие обеспечивает получение мелкоячеистого каркаса с плотно скрепленными между собой слоями, что позволяет получить более плотный, прочный и менее склонный к расслоениям каркас, чем изготавливаемый по тканопрошивной технологии. Кроме того, данная технология изготовления является ав-

томатизированной и не требует непрерывного участия оператора в процессе формования каркаса.

На сегодняшний день существуют две основные технологии формирования углеродной матрицы в углеродном армирующем каркасе: жидкофазная и газофазная. В зависимости от технологии в углеродном каркасе формируется пековый кокс или пироуглерод соответственно.

Теплозащитные покрытия на основе УУКМ, изготовленные газофазным уплотнением армирующих углеродных каркасов пироуглеродной матрицей [2, 4, 5], характеризуются высокой прочностью [6] и эрозионной стойкостью при сравнительно небольшой массе, а также возможностью сохранять свои свойства при температурах выше 2500°С.

Наряду с газофазным уплотнением углеродных каркасов осуществляется насыщение каркаса коксом каменноугольного пека. Насыщение коксом увеличивает плотность, уменьшает пористость и, как следствие, газопроницаемость материала. Данная технология изготовления используется с целью увеличения прочностных характеристик материала [5].

Плотность иглопробивного каркаса до газофазного или жидкофазного уплотнения составляет 0.7 г/см<sup>3</sup>, а после — 1.6—1.9 г/см<sup>3</sup>, что сопоставимо с графитовыми материалами конструкционных марок [7]. Благодаря таким методам изготовления, УУКМ характеризуются высокой анизотропией теплофизических и механических свойств [8].

Анизотропия теплофизических свойств подчас является основополагающим фактором в выборе данного класса материалов при конструировании теплонагруженных узлов и агрегатов, работающих длительное время при воздействии высоких температур. Высокая теплопроводность вдоль плоскости основного направления армирования и относительно низкая перпендикулярно данной плоскости [9, 10] позволяют ориентировать заготовки материала для достижения оптимального соотношения теплозашитных и механических свойств. К настоящему времени в литературе отсутствуют данные по теплофизическим характеристикам УУКМ, изготовленных с использованием иглопробивных углеродных каркасов на основе углеродной биаксиальной ткани марки АСМ С400В из высокопрочного карбонизованного полиакрилонитрильного (ПАН) волокна с газофазным и жидкофазным уплотнением.

В данной работе проведено экспериментальное исследование коэффициента температуропроводности образцов УУКМ, уплотненных углеродной (типа ИПГ) и коксовой (типа ИПП) матрицами, полученных по газофазной и жидкофазной технологиям соответственно, в интервале температур от 600 до 1700 К вдоль различных направлений анизотропии.

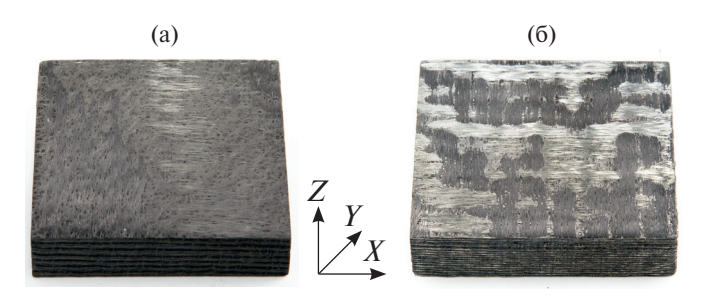
# ХАРАКТЕРИСТИКА ОБРАЗЦОВ И ЭКСПЕРИМЕНТАЛЬНАЯ УСТАНОВКА

Производство УУКМ типа ИПГ и ИПП осуществляется в АО «Композит» — ведущей материаловедческой организации ГК «Роскосмос» (г. Королев). Материалы заготовок образцов выполнены на основе иглопробивного углеродного каркаса, состоящего из чередующихся слоев углеродных тканей АСМ С400В, изготовленных из окисленного ПАН-волокна. Ткань представляет собой наложенные друг на друга без переплетения два слоя углеродной ленты с углом

между ними 90°, прошитых полиэфирной нитью для обеспечения связности. Слои ленты образованы жгутами углеродного волокна марки UMT49S-12K, состоящими из филаментов нити диаметром 6-8 мкм. Шаг армирования материала в направлении, перпендикулярном слоям, составлял примерно 0.5-0.7 мм. Отличительной особенностью материала типа ИПГ от материала типа ИПП является технология уплотнения углеродного каркаса. Каркас материала типа ИПГ уплотнен пироуглеродом. Пироуглерод получается из природного газа при температуре около 1000°C. Каркас материала типа ИПП уплотнен коксом, сформированным в процессе карбонизации пека каменноугольного электродного среднетемпературного марки «Б» при давлении порядка 60 МПа и температуре около 1000°C с последующей высокотемпературной обработкой (BTO) при 2100°C.

Внешний вид исследуемых материалов приведен на рис. 1. Видно, что они имеют слоистую структуру с толщиной слоя  $\sim$ 0.7 мм, состоящего из углеродной матрицы и армирующего волокна. Плоскость армирования X-Y расположена вдоль слоев углеродной ткани, ось Z направлена перпендикулярно им. Таким образом, у данных материалов имеются два характерных направления и, соответственно, два основных компонента тензора кинетических свойств: в направлении плоскостей слоев и перпендикулярно этим плоскостям. При этом сами значения свойств являются эффективными, так как характеризуют свойства данного объема слоистого материала в том или ином направлении.

Экспериментальное исследование температуропроводности данных материалов при высоких температурах проводилось методом плоских температурных волн [11] на оригинальной установке, описанной в [12]. Теоретическое обоснование, определение оптимальных условий измерений и экспериментальная проверка применимости метода плоских температурных волн к слоистым гетерогенным материалам даны в [13, 14]. Что касается дополнительных ограничений, накладываемых на измерения темпера-



**Рис. 1.** Внешний вид УУКМ: (а) — образец № 1, (б) — № 2.

туропроводности таких материалов, как УУКМ, то они относятся к соблюдению условий «однородности» образца. Другими словами, образец должен быть представительным, т.е. характеризовать свойство всего материала, а не только какого-либо его компонента. Реально «однородность» образца повышается при увеличении его толщины. Начиная с некоторого значения толщины, результаты измерений эффективных теплофизических свойств становятся одинаковыми, что является подтверждением однородности исследуемых образцов.

Образцы УУКМ марок ИПГ и ИПП (далее образцы №№ 1, 2) вырезаны из заготовок материала методом фрезерования вдоль (плоскость X-Y) и поперек (ось Z) основного направления армирования. Они представляли собой квадратные плоскопараллельные пластины со стороной 11 мм и толщиной 1.5—3 мм. Перед загрузкой в измерительную камеру готовые образцы исследовались под микроскопом на наличие возможных трещин и дефектов на поверхностях.

Измерения проводились в атмосфере чистого гелия в режиме термоциклирования от комнатной температуры до 1700 К. Темп нагрева и охлаждения образцов не превышал 5 К/мин. Для возбуждения плоских температурных волн применялось модулированное по амплитуде излучение инфракрасного лазера типа ЛГН-701 (длина волны излучения — 10.6 мкм. мошность — 60 Вт). Для регистрации средней температуры образца использовался термопарный датчик (ВР5/ВР20). Колебания температуры на поверхности образца, противоположной к нагреваемой, контролировались при помощи фотоэлектрического датчика (фотодиода). Установленный перед ним коллиматор ограничивал площадь визирования центральной части образца. Данная область обзора имеет диаметр ~2 мм и достаточно велика по сравнению с масштабом микроструктуры. Поэтому фотоприемник регистрирует колебание средней температуры поверхности образца, что позволяет избежать сложностей при оценке температуропроводности из-за локальных различий температуры поверхности, возникающих вследствие различий в коэффициентах теплопроводности и температуропроводности волокон и матрицы.

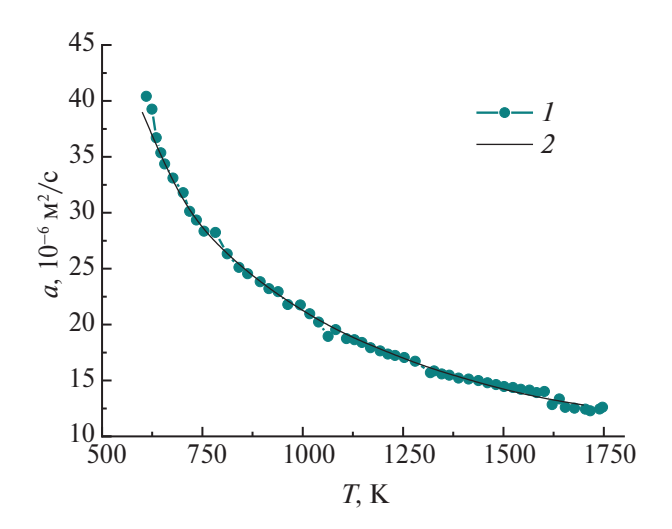
Сигналы с датчиков после прохождения через линейные нормирующие цепи подавались на внешний аналого-цифровой преобразователь Е14-440,а затем в компьютер для обработки. Расчет амплитуды и фазового сдвига колебаний температуры по отношению к колебаниям лазерного излучения (теплового потока) осуществлялся попериодно в соответствии с квазиоптимальной процедурой, включающей пре-

образование Фурье. Частоты модуляций лазерного излучения выбирались в диапазоне от 4.0 до 16 Гц при условии, чтобы запаздывание температурной волны в исследуемом образце было не меньше 150°. Расчет температуропроводности проводился по значениям фазового сдвига, частоте модуляции и толщине образца без учета линейного расширения.

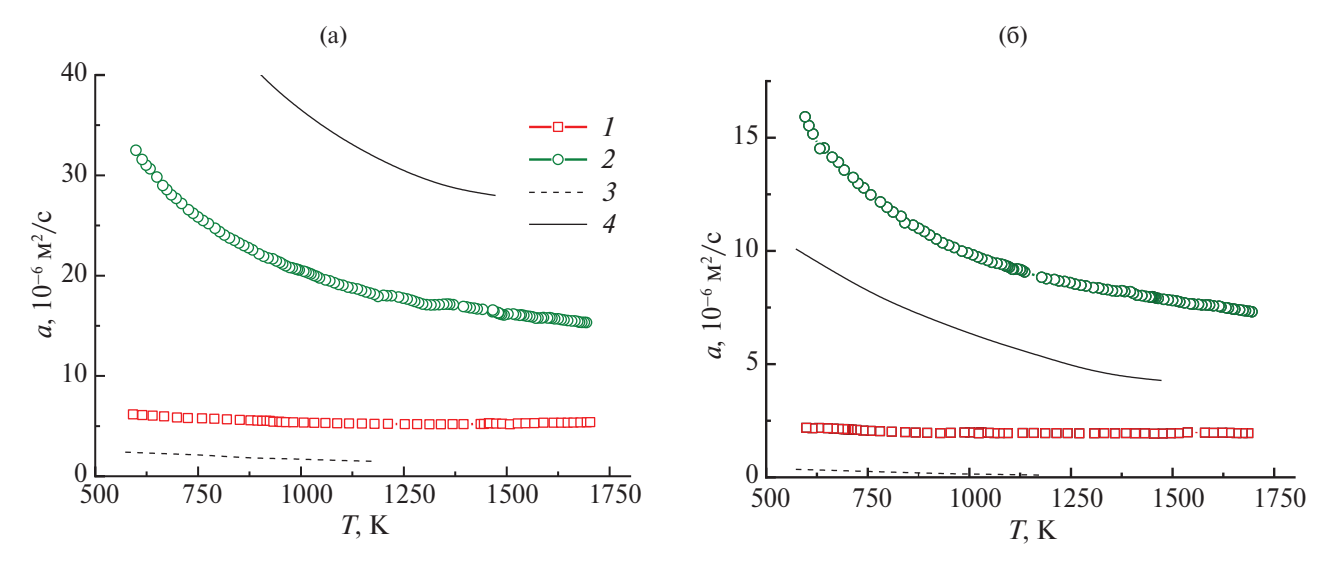
Относительная расширенная неопределенность измерения коэффициента температуропроводности в рассматриваемом интервале температур составила 3% и средней температуры образца -1.4% с коэффициентом охвата k=2. На данную методику экспериментального определения теплофизических свойств получен аттестат  $\Phi$ ГУП «ВНИИМС» [15].

Плотность УУКМ определялась при комнатной температуре методом гидростатического взвешивания согласно ГОСТ 18898-89 (ISO 2738-87) с открытыми порами. Образцы для исследования вырезаны в виде пластин размерами  $45\times45~{\rm km}^2$  и толщиной  $10~{\rm km}$ . Масса образцов измерялась на аналитических весах Shimadzu AW220 с погрешностью менее  $\pm 0.1~{\rm km}$ , размеры — электронным длинномером ШЦ-II-250-0.05 (с погрешностью  $\pm 0.005~{\rm km}$ ), который поверялся по образцовым мерам непосредственно перед измерениями. Определенная таким методом плотность образцов  ${\rm Ne} {\rm Ne} 1~{\rm in} 2~{\rm coctabuna} 1.77~{\rm in} 1.95~{\rm r/cm}^3$  соответственно.

Для калибровки установки были произведены измерения температуропроводности графита марки РОСО АХМ-5Q. Результаты измерений представлены на рис. 2. Каждая точка на графике отражает значения, осредненные по 100 периодам колебаний температуры. В исследованном интервале температур 600—1750 К полученная



**Рис. 2.**Температурные зависимости коэффициента температуропроводности графита марки РОСО AXM-5Q: 1 — результаты измерений, 2 — данные [16].



**Рис. 3.** Температурные зависимости температуропроводности вдоль X–Y(a) и вдоль Z(б) образцов УУКМ: I – № 1, 2 – № 2; 3 – [9], 4 – [10].

температурная зависимость температуропроводности графита (кривая *I*) хорошо согласуется с табличными данными [16] (кривая *2*). Максимальное отклонение экспериментальных точек от калибровочной кривой (до 7%) наблюдается в начале температурного диапазона, соответствующего пороговой чувствительности используемого фотоприемника. В остальной части диапазона отклонение не превышает 4%.

# РЕЗУЛЬТАТЫ И ОБСУЖДЕНИЕ

Результаты измерений температурной зависимости коэффициента температуропроводности a(T) образцов УУКМ марок ИПГ и ИПП по взаимно перпендикулярным осях  $(X \cup Z)$  показаны на рис. 3. Наибольшую температуропроводность каждый из образцов имеет в плоскости X-Y. В направлении оси Z она в два-три раза ниже, чем в направлении армирования, что свойственно высокоанизотропным УУКМ. Также наблюдается значительное влияние на данное свойство вида уплотнения углеродного каркаса. Так, политермы температуропроводности образца № 1 практически не зависят от температуры. Такое поведение a(T) характерно для аморфизованных графитовых материалов на основе пиролитического углерода с турбостратной структурой [17, 18]. В то же время изменение температуропроводности образца № 2 с ростом температуры носит быстро убывающий характер. При этом порядок величины и вид зависимости a(T) как в плоскости X-Y, так и в направлении Z хорошо согласуются с литературными данными (кривые 3, 4) для такого класса материалов. Действительно, в работе [9] исследовался материал с пироуглеродным уплотнением углеродного каркаса, что очень близко к технологии изготовления материала ИПГ, тогда как материал СХ-270G [10] изготовлен по технологии, схожей с технологией изготовления материала ИПП, в которой пековая матрица также подвергалась графитизации при высоких температурах. Обработка полученных данных осуществлялась с помощью линии тренда полиномом

$$a(T) = A - BT + CT^2 - DT^3.$$
 (1)

Значения коэффициентов и достоверность аппроксимации приведены в таблице.

Измерения для образцов в режиме нагрев—охлаждение показывают полную повторяемость представленных данных во всем температурном диапазоне, что свидетельствует о стабильности их теплофизических свойств.

Значения коэффициентов в формуле (1) для образцов УУКМ марок ИПГ и ИПП

Образец	A	<i>B</i> , 10 <sup>−3</sup>	$C$ , $10^{-6}$	$D, 10^{-10}$	Достоверность аппроксимации
ИПГ (ось Х)	9.366	7.764	4.735	9.366	0.993
ИПГ (ось $Z$ )	3.386	3.285	2.264	4.85	0.992
ИПП (ось $X$ )	88.59	145	100.8	241.7	0.999
ИПП (ось $Z$ )	39.04	60.33	40.69	95.69	0.999

На основании сведений о температуропроводности a, плотности  $\rho$  и удельной теплоемкости  $C_n$  с помощью соотношения [19]

$$\lambda = aC_{p}\rho \tag{2}$$

были рассчитаны температурные зависимости коэффициентов теплопроводности  $\lambda(T)$  образцов №№ 1, 2. В расчетах использовались данные по удельной теплоемкости и температурному коэффициенту линейного расширения (ТКЛР), взятые из [20]. Такое заимствование вполне оправдано, так как удельная теплоемкость и коэффициенты линейного расширения углеродуглеродных композиционных материалов одного типа, изготовленных по схожим технологиям, практически совпадают [9].

Оценим влияние теплового расширения на результаты расчета коэффициентов теплопроводности  $\lambda_{xy}$  и  $\lambda_z$ , имея в виду, что учет теплового расширения для температуропроводности увеличивает ее значение в  $[1+\alpha(T-T_0)]^2$  раз (по толщине  $\alpha=\alpha_z$ , вдоль слоев  $\alpha=\alpha_{xy}$ ). Для этого перепишем формулу (2) в виде

$$\lambda_{xy}(T) = a_{xy}(T)C_p(T)\frac{\rho_0}{\left[1 + \alpha_z \left(T - T_0\right)\right]},$$

$$\lambda_z(T) = a_z(T)\left[1 + \alpha_z \left(T - T_0\right)\right] \times C_p(T)\frac{\rho_0}{\left[1 + \alpha_{xy} \left(T - T_0\right)\right]^2},$$

где  $a_{xy}(T)$  и  $a_z(T)$  — политермы температуропроводности вдоль и поперек слоев без учета ТКЛР;  $T_0$ =300 К — комнатная температура;  $\rho_0$  — плотность образца при  $T_0$ . Подставив в эти соотношения значения ТКЛР  $\alpha_{xy}=0.56\times 10^{-6}$  и  $\alpha_z=2.04\times 10^{-6}$  1/K [20], придем к тому, что в конце температурного диапазона (1750 K) коэффициент теплопроводности  $\lambda_{xy}(T)$  уменьшится на 0.3%, а  $\lambda_z(T)$  увеличится на 0.13% по отношению к значениям теплопроводности, рассчитанным с нулевыми значениями ТКЛР. Этот вклад в неопределенность коэффициентов теплопроводности можно считать незначительным по сравнению с погрешностями определения температуропроводности и удельной теплоемкости.

Имеющиеся результаты измерений удельной теплоемкости УУКМ и графитов [16, 17, 21, 22] не выявляют значительных расхождений в публикациях различных исследователей и согласуются в пределах 5% с данными [20], которые аппроксимируются уравнением

$$C_p(T) = -38.0528 + 0.0041618T +$$

$$+741.254 / T - 0.707584\sqrt{T} + 19.0911g T.$$

Незначительный (по сравнению с теплопроводностью) разброс данных по теплоемкости

УУКМ объясняется макроструктурной «нечувствительностью» данного свойства.

Таким образом, погрешность (среднеквадратичное значение) определения  $\lambda(T)$  по данной методике в рассматриваемом диапазоне температур оценивается в пределах 6%.

На рис. 4 показаны результаты расчета коэффициента теплопроводности образцов УУКМ в зависимости от температуры и направления теплового потока относительно плоскости армирования. Видно, что коэффициенты теплопроводности образца № 1 для обоих направлений теплового потока с повышением температуры медленно растут, а образца № 2 — нелинейно (с положительной кривизной) убывают.

Полиномиальная (для ИПГ) и степенная (для ИПП) аппроксимации полученных данных дают следующие выражения:

$$\lambda_{xy}(T) = 4.732 + 2.837 \times 10^{-2} T -$$

$$-2.288 \times 10^{-5} T^{2} + 6.368 \times 10^{-9} T^{3},$$

$$R^{2} = 0.993;$$

$$\lambda_{xy}(T) = 996.32 T^{-0.384}, R^{2} = 0.99;$$

$$\lambda_{z}(T) = 2.72 + 5.923 \times 10^{-3} T -$$

$$-4.334 \times 10^{-6} T^{2} + 1.28 \times 10^{-9} T^{3},$$

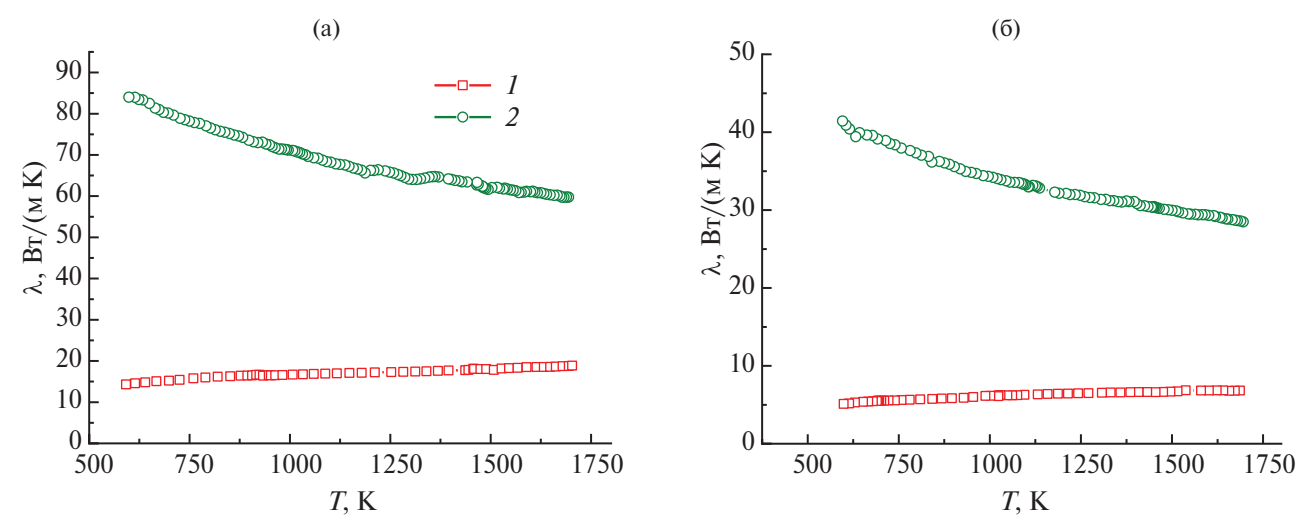
$$R^{2} = 0.997;$$

$$\lambda_{z}(T) = 558.24 T^{-0.406}, R^{2} = 0.995.$$

Сравнение зависимостей  $\lambda(T)$  образцов марок ИПГ и ИПП в разных направлениях армирования показывает, что во всем температурном диапазоне зависимости теплопроводности образцов отличаются как по величине, так и по форме, несмотря на то, что технология и сырье (ПАН), используемое для изготовления каркасов обоих образцов, применялись идентичные. Отсюда можно предположить, что основной вклад в теплопроводность материала вносит состояние углеродной матрицы, а именно ее структура и плотность. Исходя из этого, проанализируем процесс переноса тепла в исследованных образцах.

В современной теории теплопроводности предполагается, что тепло в твердых неметаллических веществах переносится в основном фононами (квантами энергии  $\hbar \omega$  различных мод колебаний решетки) [23,24]. Это относится и к токопроводящим маркам УУКМ. Число Лоренца для них равно 1200 мкОм Вт/К [25], что на пять порядков больше значения числа Лоренца для обычных металлов и сплавов. Тогда, согласно формуле Дебая, теплопроводность УУКМ может быть выражена следующим образом:

$$\lambda_{\Phi} = \frac{1}{3} \upsilon C_p \rho l_{\Phi}, \tag{3}$$



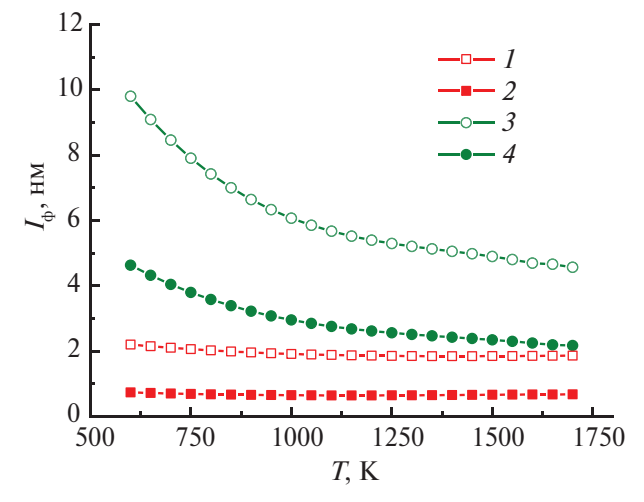
**Рис. 4.** Температурные зависимости теплопроводности вдоль X–Y(а) и вдоль Z (б) образцов УУКМ: I – № 1, Z – № 2.

где  $\upsilon$  — скорость фононов,  $\rho$  — плотность,  $C_p \approx C_v$  — удельная теплоемкость решетки,  $l_{\phi}$  — длина свободного пробега фононов.

Как известно, скорость фононов связана с плотностью и упругими механическими характеристиками твердого тела и приблизительно равна скорости звука в нем. Поскольку эти характеристики композиционных материалов в исследуемом интервале температур изменяются незначительно, то параметр  $\upsilon$  в (3) можно считать постоянным. При температурах выше дебаевских T > 500К удельная теплоемкость УУКМ также медленно приближается к своему предельному значению. Поэтому любая зависимость коэффициента теплопроводности от температуры связана преимущественно с изменением длины свободного пробега фононов, которая в общем случае определяется выражением [17]

$$l_{\Phi} = \left(\frac{1}{l_1} + \frac{1}{l_2}\right)^{-1},\tag{4}$$

где  $l_1$  — средний пробег фононов, определяемый фонон-фононным взаимодействием;  $l_2$  – средний пробег фононов, обусловленный рассеянием на границах кристаллитов, неоднородностях структуры и дефектах кристаллического строения. Первое слагаемое в (4) пропорционально температуре, второе – не зависит от нее.Следует также учесть, что каналами теплопроводности в направлении плоскости армирования (плоскость X-Y) являются как углеродные волокна на основе ПАН-нитей, так и углеродная матрица. Доминирующим каналом в направлении оси Z является только углеродная матрица. Поэтому общая длина свободного пробега в этих направлениях как для ИПГ, так и для ИПП, должна сильно отличаться.



**Рис. 5.** Температурные зависимости коэффициента средней длины свободного пробега фононов в образцах № 1 (I — вдоль X—Y,Z — вдоль Z) и № 2 (X — вдоль X—Y,Y — Y —

Оценим длину свободного пробега фононов, исходя из экспериментальных данных по измерению температуропроводности, с помощью соотношения

$$l_{\Phi} = 3a/v$$
.

Эту формулу можно легко получить, если в уравнение (3) подставить соотношение (2). Результаты расчета показаны на рис. 5. Данные по скорости звука о в образцах взяты из работы [26] для подобных углерод-углеродных композитов с учетом плотности образцов. В случае газофазного уплотнения (образец № 1) длина свободного пробега фононов  $l_{\Phi}(T)$  не зависит от температуры и не превышает 2.5 нм в направлении нитей и 1 нм перпендикулярно им. Отсюда можно предположить, что структура уплотнения соот-

ветствует аморфному состоянию матрицы, в которой процессы фонон-дефектного и фононграничного взаимодействий существенно преобладают над фонон-фононным. Поэтому теплопроводность  $\lambda(T)$  УУКМ марки ИПГ изменяется так же, как теплоемкость: слабо растет с увеличением температуры.

Вид зависимости  $l_{\Phi}(T)$  более плотного образца №2 с пековым уплотнением демонстрирует преобладание в длине свободного пробега фонон-фононного взаимодействия. В результате U-процессов длина свободного пробега по мере повышения температуры быстро уменьшается от 10 до 5 нм по направлению волокон и от 5 до 2 нм перпендикулярно им по закону  $\sim 1/T^{0.7}$ . Такое поведение  $l_{\rm th}(T)$  обусловлено возникновением в образце более совершенной кристаллической структуры наряду с увеличением размера микрокристаллитов вследствие ВТО при 2000°C по сравнению со структурой образца №1 [27]. Известно, что продолжительность и температура ВТО оказывают непосредственное влияние на теплофизические свойства УУКМ [28], с ростом которых приобретается более упорядоченная структура углеродного материала [29, 30]. Таким образом, уменьшение  $\lambda(T)$  с ростом температуры образца №2 демонстрирует поведение, характерное для графитовых материалов [23, 31], но меньшее по величине.

Наблюдаемое поведение коэффициента температуропроводности (средней длины свободного пробега фононов) в УУКМ типа ИПГ и ИПП дает основания полагать, что в большей степени вклад в процессы теплопереноса вносит структура углеродной матрицы, в которой расположение структурных элементов кристаллической решетки, по-видимому, совпадает с направлением плоскости армирования X-Y, что подтверждают кратные по величинам, но одинаковые по форме кривые зависимости  $\lambda(T)$  в каждом из образцов.

### ЗАКЛЮЧЕНИЕ

Измерена температуропроводность в диапазоне температур от 600 до 1700 К вдоль различных осей анизотропии образцов УУКМ марок ИПГ и ИПП с различным типом уплотнения углеродных каркасов, изготовленных из углеродной биаксиальной ткани марки АСМ С400В из высокопрочного карбонизованного волокна. На основе этих экспериментальных данных рассчитаны температурные зависимости коэффициента теплопроводности УУКМ марок ИПГ и ИПП. Установлено влияние технологии уплотнения углеродного каркаса на характер поведения и величину коэффициента теплопроводности в УУКМ марок ИПГ и ИПП.

Полученные данные могут быть использованы при тепловых расчетах и изготовлении узлов и деталей, работающих при высоких температурах. На основании полученных результатов и с учетом анизотропности материалов возможно производить подбор материала и ориентацию его заготовок в зависимости от теплового потока среды, в которой функционируют детали, выполненные из данных УУКМ.

Авторы выражают благодарность докт. физ.-мат. наук А.Д. Ивлиеву за обсуждение результатов.

Работа выполнена в рамках договора HTC №03-01 от 01.12.2023г.

### СПИСОК ЛИТЕРАТУРЫ

- Tang B., Wang Y., Hu L., Lin L., Ma Ch., Zhang Ch., Lu Y., Sun K., Wu X. Preparation and Properties of Lightweight Carbon/Carbon Fiber Composite Thermal Field Insulation Materials for High-temperature Furnace // J. Eng. Fibers Fabrics. 2019. V. 14.P. 1.
- 2. *Бушуев В.М., Удинцев П.Г., Чунаев В.Ю., Ершова А.Н.* Перспективы применения углеродных композиционных материалов в химическом аппаратостроении // Химическая промышленность. 2003. Т. 80. № 3. С. 38.
- 3. Дегтярь В.Г., Калашников С.Т., Кречка Г.А., Савельев В.Н. Углерод-углеродные композиционные материалы для изделий ракетно-космической техники // Констр. функц. мат-лы. 2013. № 2. С. 12.
- 4. *Бушуев В.М., Мусин Р.К., Синани И.Л.* Закономерности пироуплотнения тканопрошивных углеродных каркасов в термоградиентном режиме для изготовления герметичных конструкций // Науч.-техн. вестник Поволжья. 2012. № 1. С. 125.
- 5. *Шурик А.Г.* Искусственные углеродные материалы. Пермь, 2009. 342 с.
- Магнитская М.В., Магнитский И.В., Тащилов С.В., Цветков Д.А. Влияние высокотемпературной обработки на механические характеристики углерод-углеродных композиционных материалов на основе пироуглеродной матрицы // Вестник ПНИПУ. Механика. 2022. № 4. С.5.
- 7. Виргильев Ю.С. Графиты для реакторостроения. М.: ФГУП «НИИграфит», 2011. 89 с.
- 8. *Savage G*. Carbon—Carbon Composites.London: Chapman & Hall, 1992.
- 9. Luo R., Liu T., Li J., Zhang H., Chen Zh., Tian G. Thermophysical Properties of Carbon/Carbon Composites and Physical Mechanism of Thermal Expansion and Thermal Conductivity // Carbon. 2004. V. 42.№ 14. P. 2887.
- Kim W.-J., Park J.Y., Kim Y. Mechanical and Thermal Properties of a Nuclear Grade C/C Composite for an Application of In-Core Structural Materials of VHTR // Trans. Korean Nuclear Society Spring Meeting Gyeongju, Korea, May 29–30, 2008.P. 317.

- Ивлиев А.Д. Метод температурных волн в теплофизических исследованиях // ТВТ. 2009. Т. 47. № 5. С. 771.
- 12. *Ивлиев А.Д., Куриченко А.А., Векшин И.М.* Высокотемпературная температуропроводность твердых растворов системы Y—Ho // ТВТ. 2016. Т. 54. № 2. С. 219.
- 13. Коршунов И.Г., Мезенцев А.Н., Ивлиев А.Д., Горбатов В.И. Измерения температуропроводности двухслойных металлических систем методом плоских температурных волн при высоких температурах. Система титан—вольфрам //ТВТ. 1989. Т. 27. № 1. С. 63.
- 14. *Ивлиев А.Д., Поздеев А.Н., Морилов В.В.* Применение метода плоских температурных волн при исследовании гетерогенных двухслойных материалов // ИФЖ. 1989. Т. 57. № 5. С. 866.
- 15. Ивлиев А.Д., Куриченко А.А., Мешков В.В., Гой С.А. Методика ГСССД МЭ 207—2013. Методика экспериментального исследования температуропроводности конденсированных материалов с использованием температурных волн. ГСССД. Аттестат № 207. Деп. в ФГУП «Стандартинформ» 20.03.2013. № 902а—2013 кк.
- Taylor R.E., Groot H. Thermophysical Properties of POCO Graphite // High Temp. – High Press. 1980. V. 12(2). P. 147.
- 17. Жмуриков Е.И., Савченко И.В., Станкус С.В., Tecchio L. Измерение теплофизических свойств графитовых композитов для конверторов нейтронной мишени // Вестник НГУ. Сер. Физика. 2011. Т. 6. №2. С. 77.
- 18. *Лутков А.И., Волга В.И., Дымов Б.К. и др.* Тепловые и электрические свойства пиролитического графита // Неорг. материалы. 1972. Т. 8. № 8. С. 1409.
- 19. *Дульнев Г.Н., Заричняк Ю.П.* Теплопроводность смесей и композиционных материалов. Л.: Энергия, 1974. 264 с.
- 20. Ohlhorst C.W., Vaughn W.L., Ransone P.O., Tsou H.-T. Thermal Conductivity Database of Various Structural Carbon—Carbon Composite Materials // NASA. 1997. Tech. Memorandum№ 4787. 96 p.

- 21. *Волков Д.П., Заричняк Ю.П.*Теплофизические свойства углерод-углеродных композиционных материалов // ТВТ. 1995. Т. 33. № 6.С. 941.
- 22. *Macías J.D., Bante-Guerra J., Cervantes-Alvarez F., Rodrìguez-Gattorno G., Arés-Muzio O. et al.* Thermal Characterization of Carbon Fiber-Reinforced Carbon Composites (C/C) //Appl. Composite Mater. 2019. V. 26 (1). P.321.
- 23. Костановский А.В., Костановская М.Е., Зеодинов М.Г. О фононном механизме теплопроводности графита при высоких температурах // ТВТ. 2013. Т. 51. №3. С. 477.
- 24. *Займан Дж.* Электроны и фононы. М.: Изд-во иностр. лит., 1962. 488 с.
- 25. Колесников С.А., Бамборин М.Ю., Воронцов В.А. и др. Формирование уровня коэффициента теплопроводности углерод-углеродного композиционного материала // Новые огнеупоры. 2017. № 2. С. 30.
- 26. Колесников С.А., Ким Л.В., Воронцов В.А., Проценко А.К., Чеблакова Е.Г. Исследование формирования теплофизических характеристик объемноармированных углерод-углеродных композиционных материалов // Новые огнеупоры. 2017. № 8. С. 45.
- 27. Wang T., Zhang Sh., Ren B., Li K., Li W., Li H. Optimizing Mechanical and Thermal Expansion Properties of Carbon/Carbon Composites by Controlling Textures // Current Appl. Phys. 2020. V. 20. № 10. P. 1171.
- 28. *Бамборин М.Ю., Ярцев Д.В., Колесников С.А.* Влияние высокотемпературной обработки на рентгеноструктурные характеристики и теплопроводность углерод-углеродных композиционных материалов // Новые огнеупоры. 2013. № 8. С. 56.
- 29. *Мармер Э.Н.* Углеграфитовые материалы. М.: Металлургия, 1973. 136 с.
- 30. *Берман Р.* Теплопроводность твердых тел. М.: Мир, 1979. 286 с.
- 31. Вершинин А.В., Горбатов В.И., Куриченко А.А., Койтов С.А. Теплофизические свойства мелкозернистого графита МПГ-7 с химической и структурной гетерогенностью // ТВТ. 2022. Т. 60. № 5. С. 676.